

Genelde Verin Hareketinin Yatay Bileşenini veya «P» ve «S» e Ait Bileşenleri Kayıt Edebilen Elektromagnetik 2S - Sismografin Transfer Fonksiyonu

THE TRANSFER FUNCTION OF THE TWO ELECTROMAGNETIC
SEISMOMETER SEISMOGRAPH WHICH CAN RECORD TOTAL
«P», «S» OR THE HORIZONTAL COMPONENT OF THE
GROUND MOTION PREDOMINANTLY

Ruhi GÜRCAN

İ.Ü. Mühendislik Fakültesi Jeofizik Bölümü.

ÖZET : Yerin hareketinin yatay bileşkesini (veya herhangibir düzlem üzerindeki bileşkesini) veya, «P» ve «S» (SH+SV) yi bir bütün olarak (SV nin yatay bileşeni hariç) kayıt etmek gayesi ile bildiğimiz (konvensiyonel) N-S, E-W ve Z sis-memetreleri veya birbirine dik konumda herhangi iki elektromagnetik sismometre bir galvanometreye (kaydediciye) paralel olarak bağlanıyor. Makalede, bu bağlantı ile ilgili ilk kuramsal geliştirmelerin yanısıra sistemin çıkışını sayısal olarak de-ğerlendiren «Transfer fonksiyonu» da ifade ediliyor.

«P» ve «S» dalgalarının partikül hareketlerini, içine düştüğü (sismometre pozisyonlarının tayin ettiği) ceyrek arz yüzeylerine bağlı olarak, iki farklı büyütme (magnifikasiyon) ile kaydedebilen 2S - Sismograf, algılanmadan hemen sonraki «po-larizasyon» ve «konponent birleştirme» özellikleri ile günümüzün güçlü dijital iş-lemleri ile elde edilebilecek birleşik sismik verilerden daha sade ve sağlıklı bir ka-yıt temin etmektedir.

İki sismometreli sismograf ayrıca alet olarak, cevap eğrilerinde sağladığı «smoothing» (yumuşatma) ve kayıtlarda sismik dalga tiplerini ayırtetmek suretiyle temin ettiği «standartlaştırma» neticesi bir ölçüde «dinamik genlik» aralığının ge-nişlemesine yol açmaktadır.

ABSTRACT : The conventional N-S, E-W and Z - component seismometers (or, any two perpendicularly placed electromagnetic seismometers) with equal and non-equal parameters, are connected in parallel to the terminals of one recording gal-vanometer with a purpose of direct recording the horizontal (or, any plane) con-ponent of the ground motion and or, total «P» or «S» (SH+SV) with the excep-tion of SV's horizontal component. In this study, besides the first theoretical deve-lopments for the connection, the transfer function are also derived for quantifica-tion of the system's output.

The «polarization» and «combination» which the 2S - Seismograph contribute immatiately after the detection provides technically safer and easier seismic data than that of obtainable from digital records by combination. Another insteresting result is that the records include basically one of the seismic energy «P» or «S» due to patern of detection, that is, it quaterly emphasizes, or on the contrary, di-minishes the component of the «P» and «S» arrivals depend on their direction of particle motion.

Two sismometer seismograph as an instrument, it provide «standardization» in the records by separating the energies and «smoothing» in the response curves, which alltogether they cause some improvement in the «dynamic range».

GİRİŞ

Sismoloji, gözlem aracı ile gelişme ya-pan bilim dallarından biridir. Karşılaştığı prob-lemlerinin çoğunun gözüümü, kaliteli ve değişik tip verinin (datanın) mevcudiyetine oldukça bağlıdır. Bu bakımdan buradaki birbirine dik iki sismometrenin çıkışlarının (out put'larının)

bir kayıt edici galvanometreye bağlanması (Şekil 1) ile yer hareketinin yatay veya düşey düz-lem üzerindeki bir bileşkesini veya, icabında, «P» veya «S» dalgalarını bir bütün olarak (SV nin horizontal bileşeni hariç) kaydının ya-pılabilmesi, daha değişik bilgiler temin edi-lebilmesi önem taşımaktadır.

Burada, sistemin teorisini hazırlarken kabul edilen ilk prensip: kayıt eidi bir lineer bir galvanometrenin çıkışı (output'u) sisteme sokulan iki lineer sismometrenin outputları ile beslenirken bu giriş, ister, bu iki outputun farkları, isterse, toplamlarından meydana gelmiş olsun, netice output'ta lineer olacaktır. Teorik gelişmelerin dayandığı ikinci önemli gerçek: elektromagnetik sismografin elektriki analog devresi ile temsil edilebileceğidir ki, daha evvel Grenet (1936), Scherbatskay (1937), Savill (1936), Dopp (1964), Kollar ve Russel (1966) ve daha birçok araştırmacı tarafından çeşitli gayelerle başarı ile kullanılmıştır.

Sismografların outputlarının birleştirilmesine gelince; sismik dalgaların sismogramlarında daha iyi ayırdedebilmek (discrimination) veya istenmiyeni filtre etmek ve sismik signalleri daha güçlendirmek gayeleri ile Benioff (1952), Romney (1964), Robert (1966) gibi sismologlar tarafından da başvurulan birer çare olmuştur.

1960 da ise Pumeroy ve Sutton'un ikinci bir galvanometreyi doğrudan doğruya sismografin içine sokarak üçlü seri bir bağlamayı, filtreleme yapmak gayesiyle gerçekleştirdiğini görüyoruz. Bu mekanik filtreleme tekniğinin etecisinin olumlu olmasına rağmen, hızla gelişen elektrik veya elektronik filtrelerin daha kolay kullanılması ve yine, (daha da önemli bir etken olarak) digital kayıt ve digital bilgisayarların signal analizine getirdikleri hızlı modern filtreleme üstünlükleri bu mekanik filtreleme tarzını hemen unutturmıştır.

Aslında bu araştırma konusunda ikinci bir sistemin (galvanometrenin) sismograf içinde kullanılması hariç, yukarıdaki paragrafta ki durumla hiç bir ilişkisi yoktur. Bunun nedeni, ilkine paralel olarak bağlanan ikinci sismometrenin frekans ortamındaki (domenindeki) filtре özelliğinden faydalananma sözkonusu olmadıgıdır. Buradaki üçlü bağlama tarzi, sismometrelerin birbirine paralel bağlanması şeklinde olup, hiç düşünülmemişte değildir. Sheriff (1959). Ne var ki, büyüyen sistemin output'unun sayısal değerlendirilmesi zorluğu yanında, bu lineer sistemin output'unda «kayıp» (aslında sismometre akımları farklarının sıfırlanmasının

dan kaynaklanıyor) veya «zayıf» sisimk signallerin fazlaca yer alması sismograma komplex bir görünüm vermiş ve sistemin üzerinde gereğince durulmamasına neden olmuştur.

Halbuki, burada sismometrelerin output'ları birleştirilirken polarizasyon yönüne tabi olarak sismometrelerin meydana getirdiği akımları toplamak veya birbirinden olan farkları kayıt yapmak gibi neticede iki farklı büyütmenin (magnifikasyonun) gerçekleşmesi söz konusudur ki, bu bir dezavantaj olmuyor, bilakis, teorik çalışmalar yapıldıktan sonra anlaşılmıştırki, pratikte, sismometreler biribirine dik ve eşdeğer parametrelerle çalıştırıldığında çok değerli bir data türü; «P» veya «S» dalgalarından genelde yalnız birini kaydeden bir sismogram temin edilebiliyor. Bununda bir avantaj olarak signal analizinde kullanılabileceği kesindir.

Burada yer-zaman döneminde yapılmış bir filtreleme söz konusu olmaktadır ki; diğer polarizasyon filtrelemelere veya komponentlerden bileşke bulma işlemlerine kıyasla (dijital dahil) daha direkt ve sade bir veri temin etmektedir. Yer ve zaman bakımından bir hata içermemesi; sismometrelerin önceden eşdeğer alınması ve komponentlerin birleştirilmesinin algılamadan hemen sonra yapılması sebebiyle kayıt farklarından doğacak hataların yer almaması ve araya fazladan bir alet girmiş olmasına nedenleriyledir.

2S - Seismograf kayıtlarının zannedildiği gibi, kompleks bir yapı değil, bilakis, bir çift sismogramdan herbirinin üzerinde daha az sismik dalga tipini bulundurması nedeniyle sinyal analizi kolay, kantitatif değerlendirmesi yapılabilir ve yerin partikül hareketlerinden normal bir sismografa nazaran daha büyük bir bilesenini, hatta icabında, bütün bir bileskeyi verebilen bir kayıt cinsi temin etmektedir.

Ayrıca şunuda belirtmek gereki ki, sinyaller bir amplifikatör aracılığı ile kuvvetlenirilmeyip doğrudan doğruya sismometrelerin akımlarının birleştirilmesi ile yapılmakta ve dedeksiyona yardımcı olsun diye herhangi bir «multiplier» de kullanılmaktadır. Bu hususun deterministik (doğrudan değerlendirici) sismolojik bilgi edinmelerde çok önem kazandığı aş-

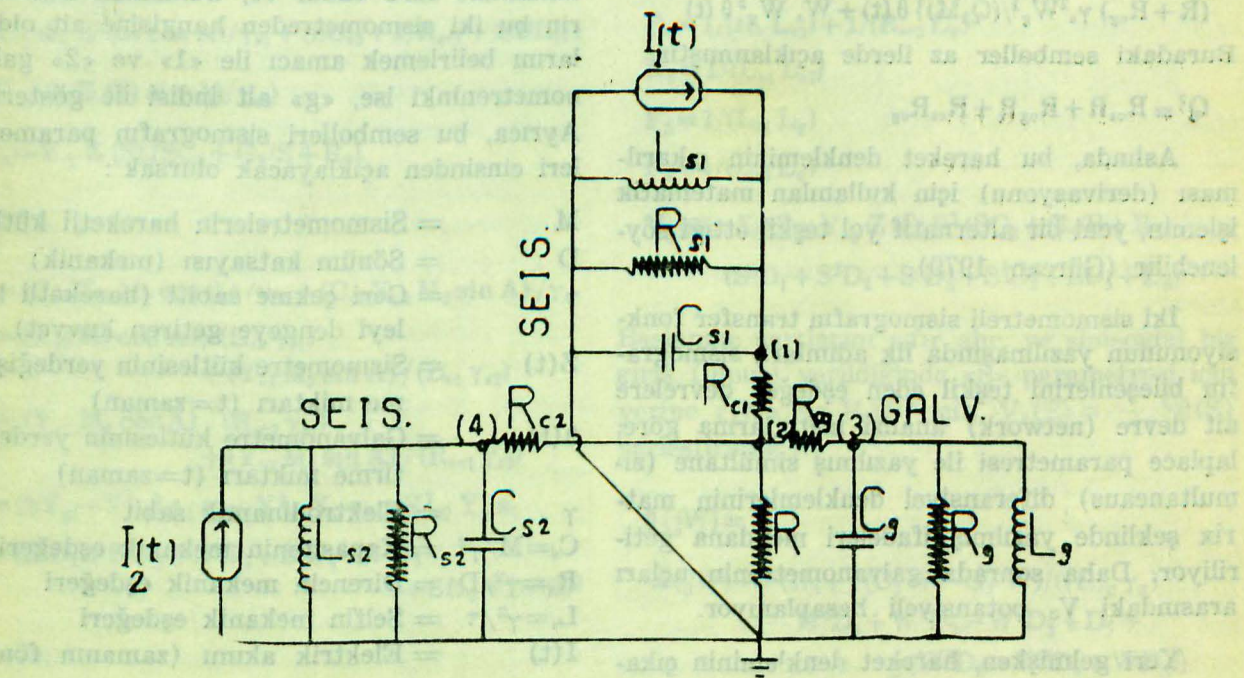
kar olup, sismolojinin ikinci üretim dalı olan statik yaklaşımları için ise, yine, bu sade data'nın modern filtre tekniklerinden faydalanan mak açısından, dijital kaydı için hiç bir engel oluşturmadığı nedeniyle ancak avantaj söz konusu olabilir.

İki sismometreli sismografin paralel birleştirilmesi ve çalışması bakımından bazı hususlar kritik görünebilir. Örneğin, kayıt edici galvametrelerin sismometre akımlarından biri veya ikisi ile beslenirken sismometrenin bir diğerinin sisteme aynı anda kuble olmasından dolayı üzerine bir miktar akım çekebileceği ve etkisinin ne olacağı; ikinci olarak, sismometrelerden birinin meydana getirdiği daha güç-

kir. Burada, sistemin output'unun sayısal değerlendirmesi, elektriki devre analizi usullerinde yapılmış olduğunu ve dolayısıyle verilen neticeler içinde yukarıdaki hususların nazari itibare alındığını göz önünde bulundurmak gereklidir.

METOD

Theorik geliştirmelerde, kısmen daha evvel «elektromagnetik sismografin altıncı dereceden hareket denklemi» nde kullanılan matematik teknik kullanılıyor (Gürçan, 1979). Bunun için önce, sismografin bileşenlerine (sismometre, galvanometre) devre sentezi (network synthesis) metodları ve özdeş elemanlar yardımı ile



Şekil 1. 2S - Sismografin tamamını analog olarak temsil eden elektrik devre.

lü bir akımın bir kısmının diğerine üzerine çektilek, ani galvanometre yüklemelerine fırsat vermeyen ve böylece non-lineer sapmaları önleyen, yumuşatılmış bir cevap eğrisi gibi bir avantajı ne derece sağlayacağı hususu. Bu ilginç noktalara dengeli bir cevabın ne bir akıl erdirme ve ne de uygun seçilmiş sismograf parametreleri ile peşinen verilebileceği düşünülemez. Fakat, bütün bir sismografin tekbir elektrik devresi olarak gösterilebileceği nedenle esas cevabı iyi gelişmiş elektrik mühendisliğinin metodlarının verebileceğine inanmak gere-

csdeğer devreler tayin ediliyor, sonradan, bu eşdeğer devreler tüm sismografi analog olarak temsil edecek şekilde birleştiriliyor (Şekil 1).

Literatürden farklı olarak; sismografin analog devresi ayrıca bir teste tabi tutuluyor ve bu analog devreden çok iyi bilinen «sismografin dördüncü dereceden hareket denklemi» nin elde edilmesiyle gerekli bir deneme yapılmış oluyor. Netice, aşağıda yazıldığı gibi: kat sayilar için hiçbir gurup terim oluşturulmadan, bütün detayı ile açık bir şekilde ifade edilmiş bu denklemenin, herhangibir sismoloji ders

kitabında raslanacak değişik termoloji ile yazılmış denklemlere eşit olduğu görülür. Örneğin böyle bir ifadeye Carl Kisslinger'in (1967) «Sismological Instrumentation» adlı kitabında rastlamak mümkündür.

$$\ddot{Z}(t) \gamma_s \gamma_g R / (m Q^2) = \theta^{(4)}(t) + \{(\gamma_g^2 / m) (R + R_{cs}) /$$

$$Q^2 + (\gamma_s^2 / M) (R + R_{cg}) / Q^2 + D_s / M +$$

$$D_g / m \} \dot{\theta}(t) + \{ W_s^2 + W_g^2 + D_s D_g / (M m) +$$

$$(R + R_{cs}) D_s \gamma_g^2 / (Q^2 M m) + (R + R_{cg}) D_g \gamma_s^2 /$$

$$(Q^2 M m) + (\gamma_s^2 \gamma_g^2) / (Q^2 M m) \} \ddot{\theta}(t) + \{ D_s W_g^2 /$$

$$M + D_g W_s^2 / m + (R + R_{cs}) \gamma_g^2 W_s^2 / (Q^2 m) +$$

$$(R + R_{cg}) \gamma_s^2 W_g^2 / (Q_2 M) \} \dot{\theta}(t) + W_s W_g^2 \theta(t)$$

Buradaki semboller az ilerde açıklanmıştır.

$$Q^2 = R_{cs} R + R_{cg} R + R_{cs} R_{cg}$$

Aslında, bu hareket denkleminin çıkarılması (derivasyonu) için kullanılan matematik işlemin, yeni bir alternatif yol teskil ettiği söylenebilir (Gürcan, 1979).

İki sismometreli sismografin transfer fonksiyonunun yazılmasında ilk adımları, sismografin bileşenlerini teskil eden esdeğer devrelere ait devre (network) analizi metodlarına göre, laplace parametresi ile yazılmış simültane (simultaneus) diferansiyel denklemlerinin matrix şeklinde yazılmış ifadeleri meydana getiriliyor. Daha sonra galvanometrenin uçları arasındaki V_3 potansiyeli hesaplanıyor.

Yeri gelmişken, hareket denkleminin çıkarılması, bu noktadan sonra farklı bir adımı daha içerdigini kısaca belirtmek isterim. Yazılmış normal sismografa ait simültane denklemlerden, altıncı mertebeden tek bir lineer diferansiyel denklem elde edilmektedir. Daha sonraki matematik işlemler: başlangıç şartlarına göre, invers transform yapmak gayesiyle «S» laplace parametresi yerine, sinisoidal hareketin açısal hızı $S = iw$, ($i = \sqrt{-1}$) yerleştirilerek cevap eğrileri için zaman domeninde çözüm bulunması ortak yanlarıdır.

2S - Sismografin transfer fonksiyonu yenisir parametre «A» açısını içermektedir. Bu açı horizontal 2S - sismograf için azimüt açısı

olmakla beraber, vertikal 2S - sismograf için azimütten başka, bilhassa «P» veya «S» dalgası oluşuna göre, bileskeye katkıları bakımından geliş açısını, veya «S» in polarizasyon açısını temsil edebilir. Yerin mutlak hareketinin büyülüğu söz konusu olduğunda bu açıların değerlendirilmesi gerekli olacaktır.

TRANSFER FONKSİYONUN DERİVASYONU

Hernekadar pratikte 2S - Sismografin çıkışını kompleks duruma sokmamak için kullanılan iki sismometre birbirine eşit alındı ise de, teorik derivasyonlarda sistemi daha geniş kapsamlı tutmak için sismometrelerin eşit olmadıkları farz edildi ve, kullanılan sembolerin bu iki sismometreden hangisine ait olduklarını belirlemek amacıyla «1» ve «2» galvanometreninki ise, «g» alt indis ile gösterildi. Ayrıca, bu semboller sismografin parametreleri cinsinden açıklayacak olursak :

M	= Sismometrelerin hareketli kütlesi
D	= Sönum katsayısı (mekanik)
τ	= Geri çekme sabiti (hareketli kütleyi dengeye getiren kuvvet)
Z(t)	= Sismometre kütlesinin yerdeğiştirme miktarı ($t = \text{zaman}$)
$\theta(t)$	= Galvanometre kütlesinin yerdeğiştirme miktarı ($t = \text{zaman}$)
γ	= Elektrodinamik sabit
$C_s = M / \gamma^2$	= Kapasitenin mekanik esdeğeri
$R_s = \gamma^2 / D$	= Direncin mekanik esdeğeri
$L_s = \gamma^2 / \tau$	= Selfin mekanik esdeğeri
I(t)	= Elektrik akımı (zamanın fonksiyonu)
$V_{1,2,3,4}$	= Şekildeki devrede gösterilen noktalardaki voltaj değerleri
R	= sönt

Şekil 1 deki noktalar için «node» denklemlerinin matrix şekli :

$$\begin{vmatrix} I_1(S) \\ 0 \\ 0 \\ I_2(S) \end{vmatrix} = \begin{vmatrix} a_1 & -Y_{c1} & 0 & 0 \\ -Y_{c1} & b & -Y_{cg} & -Y_{c2} \\ 0 & -Y_{cg} & Y_g & 0 \\ 0 & -Y_{c2} & 0 & a_2 \end{vmatrix} = \begin{vmatrix} V_1(S) \\ V_2(S) \\ V_3(S) \\ V_4(S) \end{vmatrix}$$

burada,

$$\begin{aligned} a_1 &= SC_{s1} + 1/R_{sc1} + 1/SL_{s1}; \quad 1/R_{sc1} = 1/R_{s1} + 1/R_{c1} \\ a_2 &= SC_{s2} + 1/R_{sc2} + 1/SL_{s2}; \quad 1/R_{sc2} = 1/R_{s2} + 1/R_{c2} \\ b &= 1/R + 1/R_{cg} + 1/R_{c1} + 1/R_{c2}; \quad Y_{cg} = 1/R_{cg} \\ Y_g &= SC_g + 1/R_h + 1/SL_g; \quad R_h = R_{cg} R_g / (R_{cg} + R_g) \end{aligned}$$

$$\begin{aligned} I_1(S) &= M_1 \ddot{Z} \cos A / \gamma_{s1} \quad Y_{c1,2} = 1/R_{c1,2} \\ I_2(S) &= M_2 \ddot{Z} \sin A / \gamma_{s2} \quad A = \text{azimut açısı} \end{aligned}$$

Node (3) teki voltaj : $V_3(S) = \Sigma_3 / \Sigma$

burada,

$$\begin{aligned} \Sigma_3 &= a_2 I_1(S) Y_{cg} Y_{c1} + a_1 I_2(S) Y_{cg} Y_{c2} \\ \Sigma_3 &= Y_{cg} \{ (SC_{s2} + 1/R_{sc2} + 1/SL_{s2}) \\ &\quad (Y_{c1} M_1 \ddot{Z}(S) \cos A / \gamma_{s1} + (SC_{s2} + 1/R_{sc2} + 1/SL_{s2}) \\ &\quad (Y_{c2} M_2 \ddot{Z}(S) \sin A / \gamma_{s2}) \\ \Sigma_3 &= Y_{cg} \ddot{Z}(S) (SC_3 + G_3/S + R_3) \end{aligned}$$

burada,

$$\begin{aligned} C_3 &= (C_{s2} Y_{c1} M_1 \cos A) / \gamma_{s1} + (C_{s1} Y_{c2} M_2 \sin A) / \gamma_{s2} \\ G_3 &= (Y_{c1} M_1 \cos A) / (L_{s2} \gamma_{s1}) \\ &\quad + (Y_{c2} M_2 \sin A) / (L_{s1} \gamma_{s2}) \\ R_3 &= (Y_{c1} M_1 \cos A) / (R_{sc2} \gamma_{s1}) \\ &\quad + (Y_{c2} M_2 \sin A) / (R_{sc1} \gamma_{s2}) \\ \Sigma &= (b Y_g - Y_{cg}^2) a_1 a_2 - Y_{c1}^2 Y_g a_2 - Y_{c2}^2 Y_g a_1 \\ \Sigma &= (S^6 D_1 + S^5 D_2 + S^4 D_3 + S^3 D_4 + S^2 D_5 \\ &\quad + S D_6 + D_7) / S^3 \end{aligned}$$

burada,

$$\begin{aligned} D_1 &= C_{cg} K_1 b \\ D_2 &= T_2 - (Y_{cg}^2 K_1 + Y_{c2}^2 F_1 + Y_{c1}^2 P_1) \\ D_3 &= T_3 - (Y_{cg}^2 K_2 + Y_{cg}^2 F_2 + Y_{c1}^2 P^2) \\ D_4 &= T_4 - (Y_{cg}^2 K_3 + Y_{c2}^2 F_3 + Y_{c1}^2 P_3) \\ D_5 &= T_5 - (Y_{cg}^2 K_4 + Y_{c2}^2 F_4 + Y_{c1}^2 P_4) \\ D_6 &= T_6 - (Y_{cg}^2 K_5 + Y_{c2}^2 F_5 + Y_{c1}^2 P_5) \\ D_7 &= T_7 = K_5 b / L_g \\ T_2 &= (K_1 / R_h + C_g K_2) b \\ T_3 &= (K_1 / L_g + K_2 / R_h + C_g K_3) b \\ T_4 &= (K_2 / L_g + K_3 / R_h + C_g K_4) b \\ T_5 &= (K_3 / L_g + K_4 / R_h + C_g K_5) b \end{aligned}$$

$$\begin{aligned} T_6 &= (K_4 / L_g + K_5 / R_h) b \\ K_1 &= C_{s1} C_{s2} \\ F_1 &= C_{s1} C_g \\ P_1 &= C_{s2} C_g \\ K_2 &= C_{s2} / R_{sc1} + C_{s1} / R_{sc2} \\ F_2 &= C_g / R_{sc1} + C_{s2} / R_h \\ P_2 &= C_g / R_{sc2} + C_{s2} / R_h \\ K_3 &= C_{s2} / L_{s1} + 1 / (R_{sc1} R_{sc2}) + C_{s1} / L_s \\ F_3 &= C_g / L_{s1} + 1 / (R_{sc1} R_h) + C_{s1} / L_g \\ P_3 &= C_g / L_{s2} + 1 / (R_{sc2} R_h) + C_{s2} / L_g \\ K_4 &= 1 / (R_{sc1} L_{s2}) + 1 / (R_{sc2} / L_{s1}) \\ F_4 &= 1 / (R_h L_{s1}) + 1 / (R_{sc1} L_g) \\ P_4 &= 1 / (R_h L_{s2}) + 1 / (R_{sc2} L_g) \\ K_5 &= 1 / (L_{s1} L_{s2}) \\ F_5 &= 1 / (L_{s1} L_g) \\ P_5 &= 1 / (L_{s2} L_g) \\ V_3(S) &= \Sigma_3 / \Sigma = Y_{cg} \ddot{Z}(S) S^3 (SC_3 + G_3/S + R_3) / \\ &\quad (S^6 D_1 + S^5 D_2 + S^4 D_3 + S^3 D_4 + S D_5 + D_6) \end{aligned}$$

Başlangıç şartlarını sıfır alır, ve sinisoidal bir giriş (input) verildiğinde «S» parametresi için yerine «jW» ve $V_3(S)$ için, $V_3(S) = -\gamma_g S \theta(S)$ yerleştirerek :

$$\begin{aligned} \theta(jW) &= \\ \ddot{Z}(jW) W^2 &= (R_3 + j(C_3 W - G_3/W)) / ((R_{cg} \gamma_g) \\ &\quad (-W^6 D_1 + W^4 D_3 - W^2 D_5 + D_7 + \\ &\quad j(W^5 D_2 - W^3 D_4 + W D_6))) \\ \theta(jW) / Z(jW) &= W^4 (R_3 + jI_3) / ((R_{cg} \gamma_g) R_4 + jI_4)) \end{aligned}$$

bulunur.

burada,

$$\begin{aligned} I_3 &= C_3 W - G_3 / W \\ R_4 &= -W^6 D_1 + W^4 D_3 - W^2 D_5 + D_7 \\ I_4 &= W^5 D_2 - W^3 D_4 + W D_6 \\ \theta(t) / Z(t) &= W^4 ((R_3 R_4 + I_3 I_4)^2 + \\ &\quad (R_4 I_3 - R_3 I_4)^2)^{1/2} / (R_{cg} \gamma_g (R^2 + I^2)) \end{aligned}$$

Bu ifade, 2S - Sismografin dinamik büyütmesinin sayısal değerini frekansa tabi olarak veriyor. Faz frekansı responsı ise, pratikte 2S -

Sismografin kullanımında her iki sismometre eşit parametrelerle çalıştırılmış olduğunda, iki sismometre arasına farz farkı girmeyeceğinden bildiğimiz (konvensiyonel) sismograftaki gibi tekbir sismometreli olarak basitçe değerlendirilebilir. Fakat, şayet farklı sismometreler kullanılarak olunursa, pay'daki kompleks fonksiyonun (imaginer/reel) terimlerinin \arctg' ini değiştiren «W» lar için hesaplamak suretiyle sistemin faz spektrasi bulunabilir.

BİLGİSAYAR SONUÇLARI

2S - Sismografin uzun görünen transfer fonksiyonu ifadesi için bir bilgisayar programı yazmak suretiyle kolayca sayısal (kantitatif) neticeler elde etmek mümkündür.

Burada bilgisayar uygulamaları şu iki amaç için yapılmıştır. Birincisi, 2S - Sismografin uzun formüllerini çıkarırken yapılabilecek basit hatalardan formülleri arındırmak gayesiyledir. Bunun için heriki sismograf tipinde, sismometre ve galvanometre parametreleri için eşdeğer sabitler alınmış ve böylece bu değerler değiştirildikçe, eşit olmayan fakat ilişkili bir değişim gözleねebilmiştir. (Burada şunu belirtmek gereklidir, «Giriş» bölümünde konvensiyonel sismografin hareket denkleminin 2S - sismografin sembollerile ile açık bir şekilde ifade edilmiş olması, bu kıyaslamanın daha rahat bir şekilde yapılmasına fırsat vermiştir.) İkinci amaç, her iki sismografin değişen tipleri için bir karşılaştırma yaparak; değişen sismograf parametrelerinin etkilerinin incelenmesidir.

Şekil 2 de horizontal bir 2S - sismografın (sismometrelerinin ikiside horizontal) bilgisayar programı ve Call Comp platter'i yardım ile çizilmiş cevap eğrileri bulunmaktadır. On derecelik bir azimüt açısı artımı ile çizilmiş bu eğrilerin, 45° ile simetrik bir özellik gösterdikleri gözlenir.

Sismometrelerin birbirine dik konumları ile, arz yüzeyini 90° ar derecelik dört çeyrek yüzeye böldükleri ve bunların ikişer ikişer (bir ile üç; iki ile dört) eşit büyütmeye (magnifikasiyona) tabi tuttukları görülür. Böylece yer yüzünün iki çeyreğindeki partikül hareketi,

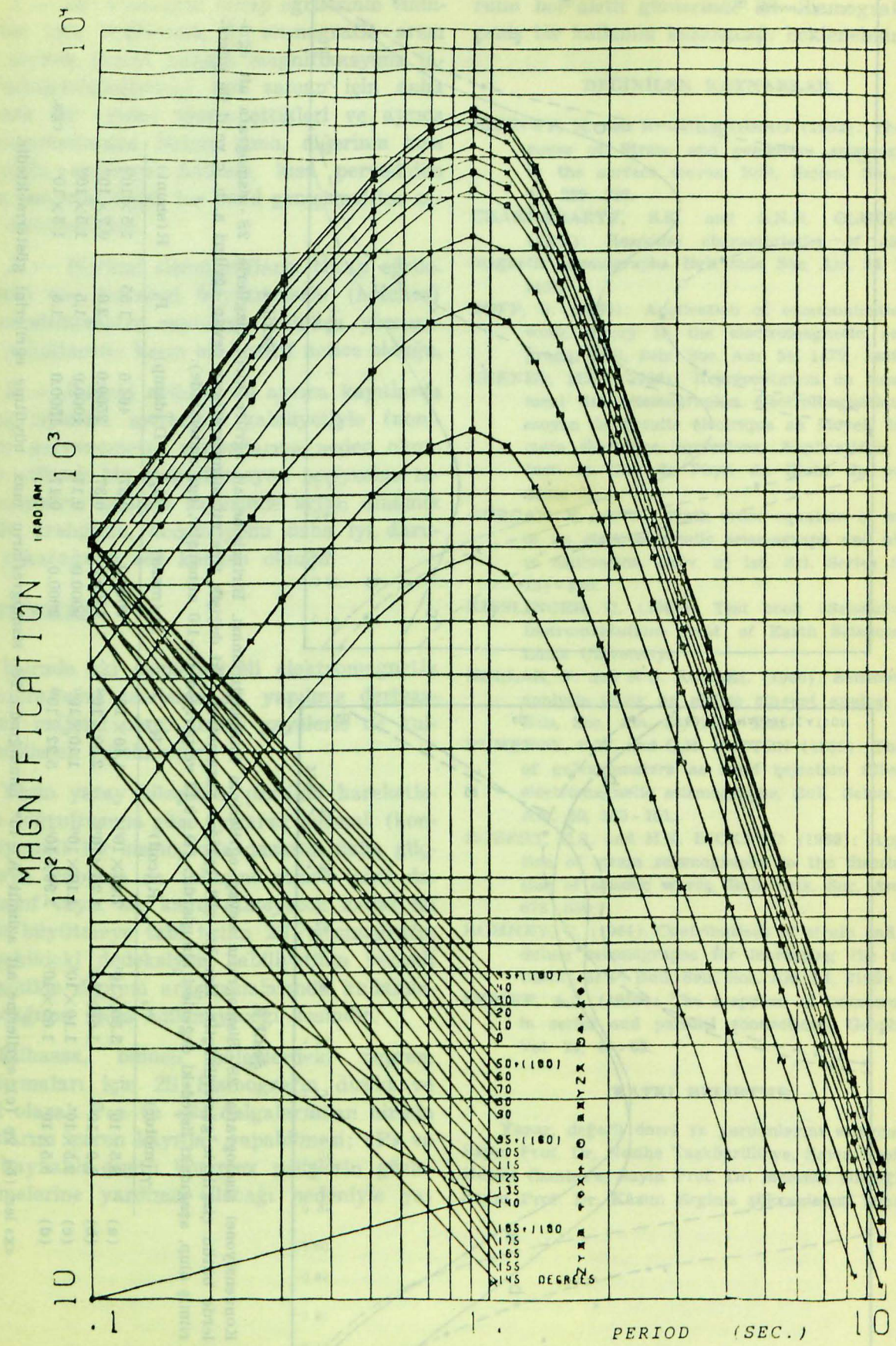
normal bir sismografa nazaran daha çok bir büyütmeye, diğer ikisinde ise daha düşük bir magnifikasiyona (icabında sıfır olabiliyor) bağlı olarak kayıt etmek olanağı sağlanıyor.

Bir horizontalle bir vertikal sismometreden oluşan «Vertikal 2S - Sismograf» Şekil 2 deki gibi bir modelde çalışma tarzına, ancak horizontal sismometrenin koluna dik düşey bir düzlem üzerinde «S» lerin çeşitli doğrultularda polarizasyonu dolayısı ile karşılaşıyoruz. Halbuki, düşey düzleme kola paralel alırsak, horizontal sismometre 180° lik bir azimütal geliş açısı için gene de vertikalle toplam pozisyonunda olabilmektedir. Böylece belirli bölge deprem araştırmalarında bilhassa bileske «P» lerin (yaklaşık 90° için tüm bileşkenin) yüksek magnifikasiyona kayıt olasılığı, çeyrek arz yüzeyleriyle değil, daha geniş, yarı arz yüzeyleri ile gerçekleştirilebilmektedir.

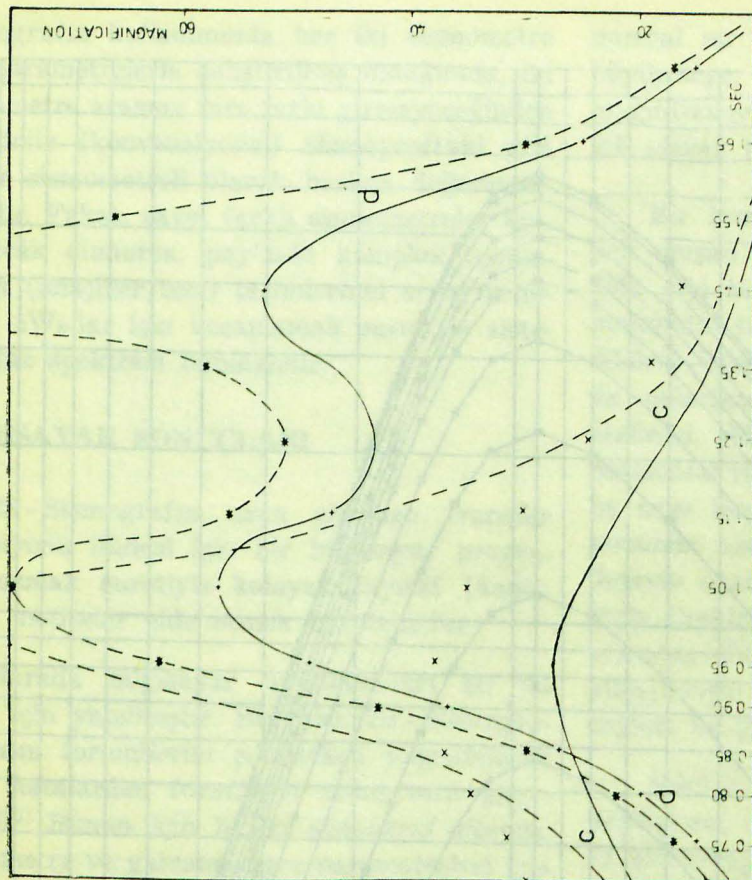
Şekil 3 ve 4 deki kırık çizgili eğriler konvensiyonel, düz çizgili eğriler de 2S - sismografa ait cevap eğrileridir. Konvensiyonel sismografla 2S - sismografin karşılaştırılmalarının kolay yapılması için her iki sismografin sismometre ve galvanometreleri eşit sabitlerde alınmış ve ayrıca, respons eğrileri rahat gözlem için normalize edilmişlerdir. Her iki tipin eşdeğerli sismograflarına ait cevap eğrileri, kesistikleri noktalarda a, b, c ve d harfleri ile sekiller üzerinde gösterilmiştir. Eğrilerin şekli genelde azimut açısı değerlerinin değişmesi ile etkili bir şekilde değişmediğinden, sadece b ve c için 2S - sismograflarına ait maximum büyütme değeri olan 45° ye tekabül eden eğriler, «X» lerle işaretlenmiştirlerdir.

Sekillerin altında a, b, c ve d sismograf tipleri için hangi parametrelerde ne değerleri alındığını gösteren liste yazılmıştır. Gerçek sismograf değerleri ile kıyaslanabilecek bu değerler ayrıca duraylı - işlerlilik (kararlılık) bakımından «Routh Hurwitz» testine tabi tutulmuşlardır.

Şekil 3 ve 4 ve burada yer almamış diğer aynı şekildeki bilgisayar çalışmaları 2S - Sismograflarının kullanımlarının avantaj teşkil edeceği hakkında manalı neticeler vermişlerdir. Bunları söyle sıralıyabiliziriz :

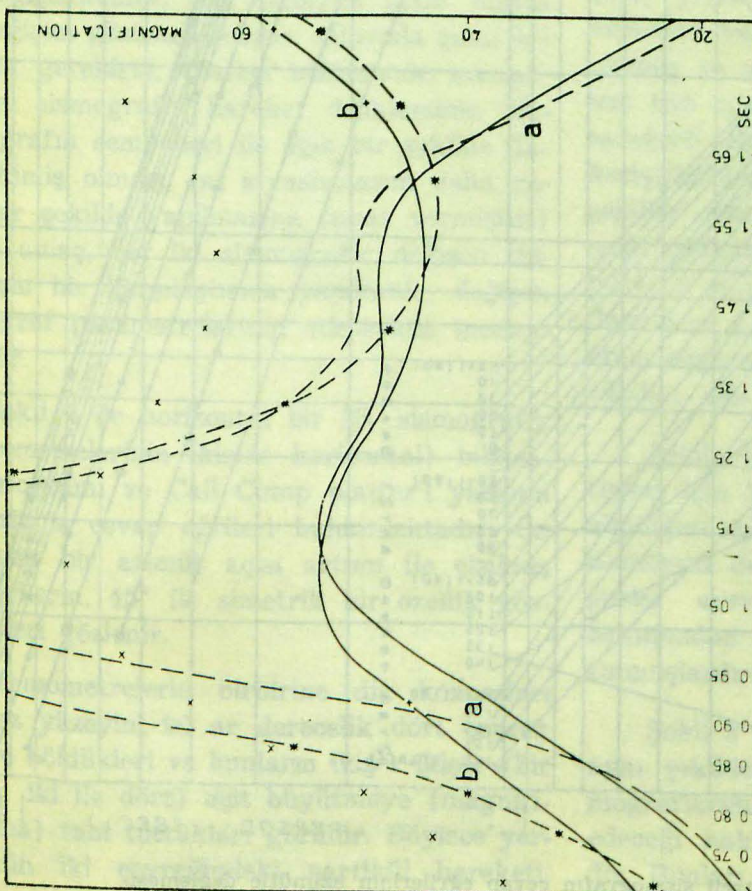


Şekil 2. İki sismometreli sismografin cevap eğrilerinin azimütle değişmesi.



Şekil 4.

Konvensiyonel sismografla 2S - Sismografin cevap eğrilerinin karşılaştırılması. Birincisine ait eğriler kırık çizgilerle, 2S - sismografa ait eğrilerde bütün çizgilerle gösterilmiştir. Her bir çift eşdeğer parametrelli, iki değişik tipe ait sismografların cevap eğrileri a, b, c ve d ile gösterilmiştir, aşağıdaki listedeki değerleri almışlardır. ($D = 0.13$ ve periyod $P = 1.0$ alımlıdır, cgs sisteminde).



Şekil 3.

«x» ler (b) ve (c) eğrilerine ait azimüt $A = 45^\circ$ alındığında 2S - sismografların max. büyütme eğrilerini göstermektedir.

γ_s (motor)	γ_s	R_c (coil)	R_{eg}	M_s (mass)	D_s (damp)	P_s	R (shunt)	
(a)	8.5×10^7	3.30×10^5	7.40×10^{11}	1.40×10^{11}	9000.0	0.37	464.0	1.55
(b)	5.0×10^7	1.65×10^5	1.25×10^{11}	2.50×10^{10}	4800.0	0.37	2500.0	2.0
(c)	2.5×10^7	1.10×10^5	1.10×10^{11}	1.10×10^{11}	9000.0	0.17	1000.0	1.5
(d)	8.5×10^7	1.65×10^5	2.90×10^{11}	5.22×10^{10}	2000.0	0.17	1500.0	1.5

cgs.

1 — 2S - sismograf cevap eğrilerinin (ikinci bir ters bağlanmış 2S - sismografla arzin her çeyrek yüzeyi yüksek magnifikasyona tabi tutulabileceğinden) her zaman için daha yüksek bir «gain» temin ettikleri ve ayrıca sismometrelerden birinin uzun, diğerinin kısa peryodlu seçilmesi halinde, kısa peryod'dan uzun peryoda doğru bir band genişlemesine sahip olabilecekleri,

2 — Normal sismografların cevap eğrilerindeki dar ve sivri büyütmelerin (notches) ikinci sismometre sayesinde oldukça yumuşamış olduklarının kesin bir positif netice olduğu,

3 — İkideki nedenle ve ayrıca kayıtlarda dalga tiplerini ayırtetme kabiliyetiyle (non-lineer galvanometre sapmalarına neden olmadan) yüksek bir magnifikasyon seviyesine tabi tutabilme olağının sayesinde artan dinamik genlik aralığının, dedeksiyonu daha iyi duruma sokacağının söz konusu olduğu.

NETİCELER

Burada iki sismometreli elektromagnetik sismografların teorisine ait yapılmış derivasyonlar orijinal olup, pratik gayelerle de kullanılabilecek niteliktir.

Yerin yatay bileşenini partikül hareketlerinin doğrultusuna göre ayırarak normal, (konvensiyonal) bir sismografa nazaran daha güçlü veya icabında da (elimine etmek için) daha zayıf veya, hiç kayıt etmeyecek kadar iki farklı büyütmeye tabi tutan 2S - seismografin bu şekildeki dedeksiyon kabiliyetinin verimli bir şekilde deprem araştırmalarında kullanılımıyağının iddia edilemeyeceği kesindir.

Bilhassa, bilinen bölgelerdeki deprem araştırmaları için 2S - Sismografin direkt ve genel olarak P» ve «S» dalgalarından birinin kayıtlarını içeren kayıtlar yapabilmesi; «P» ve «S» kaynaklı çeşitli kompleks gelişlerin gözledebilmelerine yardımcı olacağı nedeniyle ya-

rının bol aletli günlerinde 2S - Sismografların geniş bir kullanım kazanacağı beklenebilir.

DEĞİNİLEN KAYNAKLAR

- BENIOFF, H. and B. GUKENBERG (1952): The response of Strain and pendulum seismographs to the surface waves, Bull. Seism. Soc. Am. 44, 229 - 237.
- CHAKRABARTY, S.K. and S.N.R. CLUDHURY (1964): Response characteristics of electromagnetic seismographs, Bull. Seis. Soc. Am. 54, 1455 - 1458.
- DOPP, S. (1964): Application of communication network theory to the electromagnetic seismograph, Bull. Seis. Soc. Am. 54, 1479 - 1489.
- GRENET, M.G. (1936): Représentation du fonctionnement des sismographes électromagnétique au moyen de circuits électrique au moyen de circuits électrique équivalens, Applications, Bull. Inst. et Obs. de Phys. du Globe du puy-de-dome 8.
- GÜRCAN, R. (1979): Sixth order equation of motion of an electromagnetic seismograph and absolute calibration, Univ. of Ist. Sci. Series S. 44, 193 - 210.
- KISSLINGER, C. (1967): Test book «Seismological Instrumentation» Dept. of Earth Sciences, St. Louis University.
- KOLLAR, F. and R.D. RUSSEL (1966): Seismometer analysis using an electric current analog, Bull. Seis. Soc. Am. 56, 1193 - 1295.
- PUMEROY, P.W. and G.H. SUTTON (1960): The use of galvanometers as band rejection filters in electromagnetic seismographs, Bull. Seism. Soc. Am. 50, 135 - 151.
- ROBERT, C.S. and H.K. RICKARD (1969): Application of strain seismographs to the discrimination of seismic waves, Bull. Seis. Soc. Am. 59, 673 - 689.
- ROMNEY, C. (1964). Contributions of strain and pendulum seismographs for increasing the detectability of P. Bull. Seis. Soc. Am. 54, 2165 - 2174.
- SERIFF, A.J. (1959): The response of seismometers in series and parallel connections, Geophysics Vol. 24, 49 - 63.

KATKI BELİRTME

Yazar, değerli öneri ve yardımlarını esirgemeyen Sayın Prof. Dr. Nezihe Taşköprülü'ye, Sayın Prof. Dr. Nezih Canitez'e, Sayın Prof. Dr. Mehmet Dizioğlu'na, Sayın Prof. Dr. Kâzım Ergin'e şükranlarını sunar.

інформації щодо засобів захисту від санітарно-гігієнічного ризику та засобів підвищення якості продукції.

Індивідуальна храніння

ІНВІТОР І. ВІД НА СУКІННИНГО (1993). ТМ ін-
формація щодо засобів захисту від санітарно-гігієнічного ризику та засобів підвищення якості продукції.

ІНВІТОР І. ВІД НА СУКІННИНГО (1993). ТМ ін-
формація щодо засобів захисту від санітарно-гігієнічного ризику та засобів підвищення якості продукції.

ІНВІТОР І. ВІД НА СУКІННИНГО (1993). Адекватність економічної та соціальної політики

загальнодержавного ринку засобів захисту від санітарно-гігієнічного ризику та засобів підвищення якості продукції.

ІНВІТОР І. ВІД НА СУКІННИНГО (1993). Адекватність економічної та соціальної політики

загальнодержавного ринку засобів захисту від санітарно-гігієнічного ризику та засобів підвищення якості продукції.

ІНВІТОР І. ВІД НА СУКІННИНГО (1993). Адекватність економічної та соціальної політики

загальнодержавного ринку засобів захисту від санітарно-гігієнічного ризику та засобів підвищення якості продукції.

ІНВІТОР І. ВІД НА СУКІННИНГО (1993). Адекватність економічної та соціальної політики

загальнодержавного ринку засобів захисту від санітарно-гігієнічного ризику та засобів підвищення якості продукції.

ІНВІТОР І. ВІД НА СУКІННИНГО (1993). Адекватність економічної та соціальної політики

загальнодержавного ринку засобів захисту від санітарно-гігієнічного ризику та засобів підвищення якості продукції.

Індивідуальне храніння

Інформація про засоби захисту від санітарно-гігієнічного ризику та засоби підвищення якості продукції.

Інформація про засоби захисту від санітарно-гігієнічного ризику та засоби підвищення якості продукції.

Інформація про засоби захисту від санітарно-гігієнічного ризику та засоби підвищення якості продукції.

Інформація про засоби захисту від санітарно-гігієнічного ризику та засоби підвищення якості продукції.

Інформація про засоби захисту від санітарно-гігієнічного ризику та засоби підвищення якості продукції.

Інформація про засоби захисту від санітарно-гігієнічного ризику та засоби підвищення якості продукції.